

男女海盆での OBEM 観測（序報）

下泉 政志(九州能開大)、半田 駿(佐大農)、網田 和宏、

田中良和(京大理)、茂木 透(北大理)、鈴木 貞臣(九大理)

Preliminary report on the results of the OBEM observation
in Danjyo Basin, West off Kyushu Island

M. Shimoizumi (Kyushu Polytechnic college), S. Handa (Saga Univ.), K. Amita,
Y. Tanaka (Kyoto Univ.), T. Mogi (Hokkaido Univ.), S. Suzuki (Kyushu Univ.)

1. はじめに

九州・琉球弧は、本州を形成している島弧とはその構造やテクトニクスにおいて大きく異なつており、その最も顕著なものとして、九州から沖縄の背弧を通り、台湾に至る沖縄トラフの存在があげられる。さらに、雲仙普賢岳のマグマ起源は島弧性というよりも海洋性であるといわれ、九州の他の火山とは異なり、その背弧に原因があると考えられている。また、北西九州、壱岐、五島、濟州島などに存在する大量の玄武岩溶岩は、中国大陸北東部に広く分布するホットリージョンの火成活動と関連して、マントル・アップウェーリングの存在を示す可能性があり、それに関連して下部地殻の溶融・流動が生じていた可能性も指摘されている。

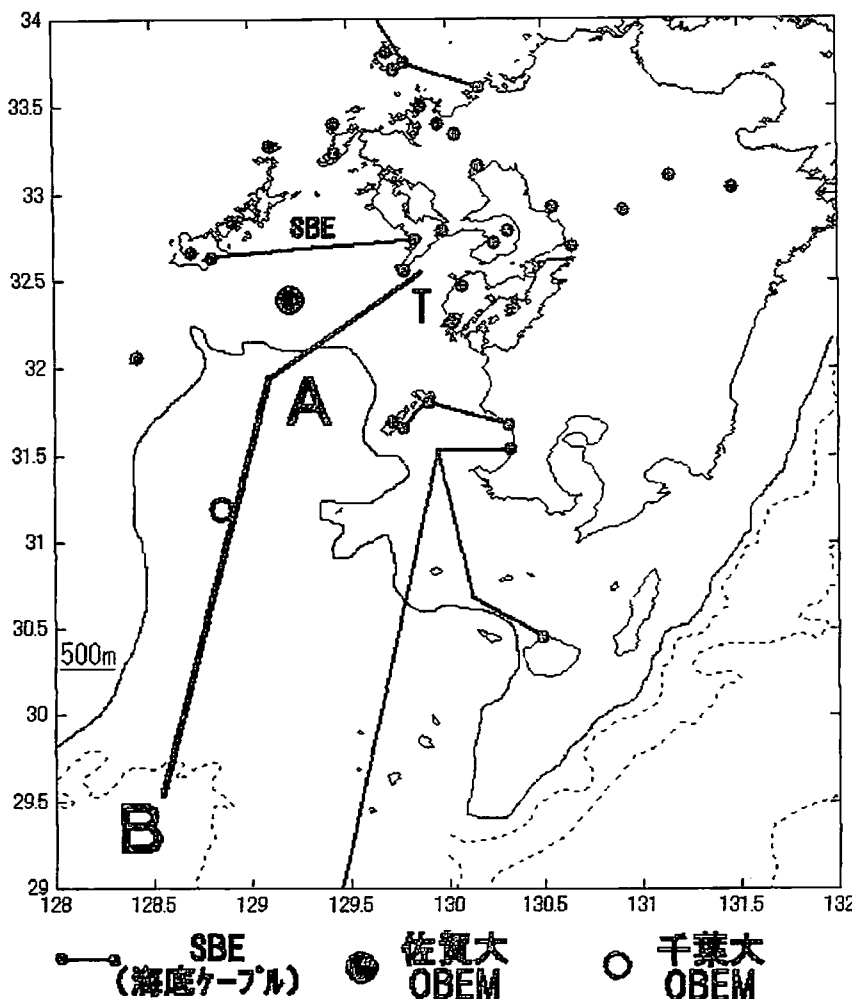
電磁気観測からも、九州北部におけるインダクション・アローが系統的に西を向くことなどから、九州西方海域の上部マントルに高電気伝導度領域 (HCL) の存在が推定されている (Handa, et al. [1992], Shimoizumi, et al. [1997])。また、最近の地震観測からも、九州西方、南方の深さ 70kmあたりに低速度層の存在が推定されており (Sadeghi, et al. [2000])、これらの間に関連があるのかどうかが今後の研究課題であり、そのためには、より信頼性、及び、精度の高い九州背弧の電磁気構造解明(陸域のみならず海域)が必要である。

今回は、昨年 9月 27 日より 10月 10日にかけて実施された「九州西方海域における地殻・マントル構造の地球物理学的研究」プロジェクトにおいて実施された海底電磁気観測、および、陸上 MT 観測のプレリミナリな解析結果を報告する。

2. OBEM 観測

この観測は東京大学海洋研究所の淡青丸による研究航海 KT-99-15 で、九州西方海域の男女海盆において、第 1 図 AB 測線上（男女海盆をほぼ南北に横切る測線）に、15km 間隔で 20 台の海底地震計 (OBS) が設置され、エアガン発振、及び、ハイドロフォンストリーマによる反射法地震探査が実施された。海底電位磁力計は佐賀大 1 台と千葉大 1 台の 2 台が投入され、9 月 28 日から 10 月 9 日の約 11 日間のデータが得られた。回収は日本サルベージの第 2 静波丸 (1050t) により行われたが、OBS は測線最北端の 1 台が回収できず、回収された 19 台のうち 1 台は塩漬け状態であったため、OBS は 18 台のデータが解析に使用できるようである。

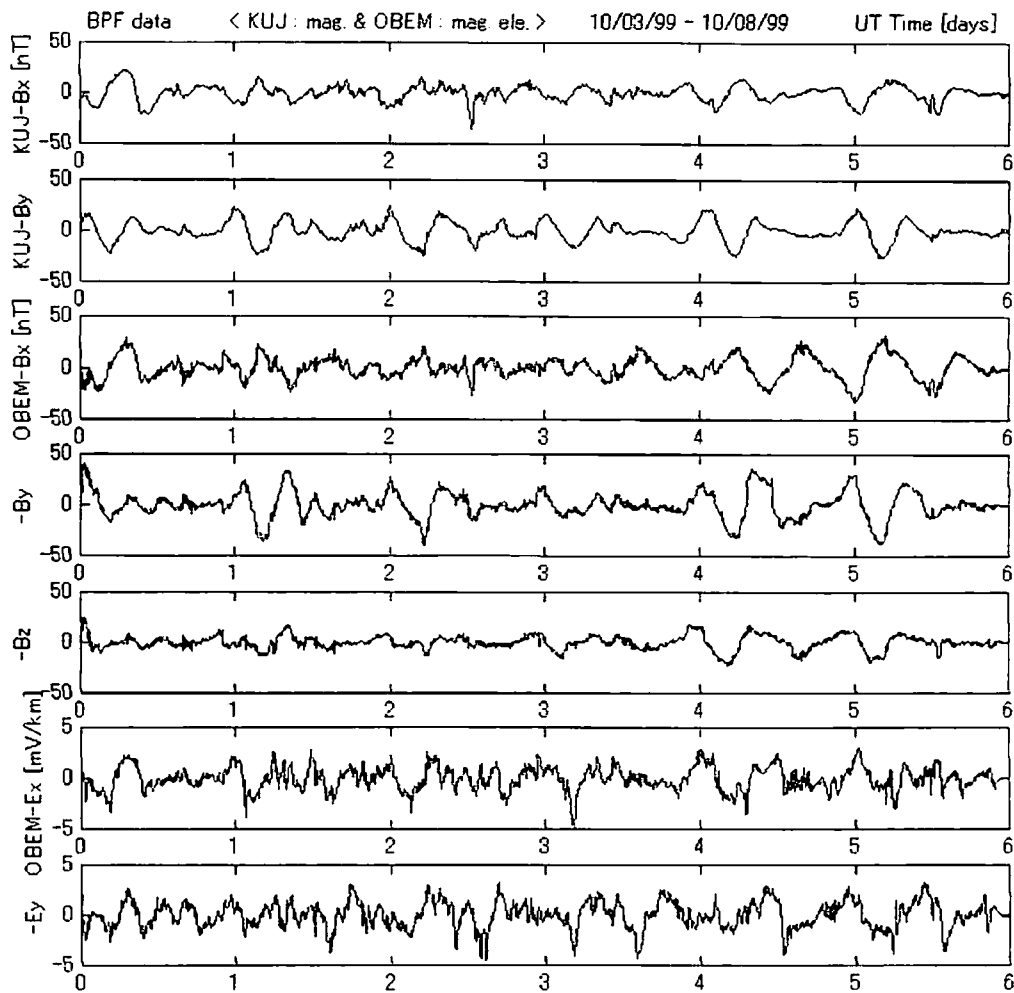
Research Project of Kyushu Backarc



第1図 OBEM 観測地点と陸上 MT 観測点分布図

佐賀大学 OBEM 投入地点(●)は、北緯 $32^{\circ} 22.984'$ 、東経 $129^{\circ} 14.957'$ 、水深 247m である。

千葉大学の OBEM は、磁場水平2成分と電場2成分よりなり、1秒サンプリングで IC カードに記録されており、周期約 30 秒以上のデータに関しては電場、磁場ともほぼ良好なものが得られているようである(島、私信)。このデータは現在千葉大学で解析中であるので、ここでは佐賀大学 OBEM に関してのみ述べる。佐賀大学 OBEM は、磁場3成分、電場2成分、傾斜計2成分よりなり、16ビット AD によりデジタル化され、4MB の SRAM IC カードに記録される(テラテクニカ製 MTA-883、1999)。今回のサンプリング時間は観測期間およびリチウム電池容量から1分サンプルに設定した。電極は銀一塩化銀平衡電極を用い、電極間隔は 4m である。電極のドリフトは、2 成分ともに $400 \mu\text{V}$ 程度で、ほぼ 1~2 日で安定した。海流による揺れの影響をやはり受け、半日周期での揺れは傾斜角にして 1° を超える日もあった。第2図に 10月 3 日から 6 日間のデータを示す。今回はデータ・サンプリング毎に傾斜角データも記録していたため、揺れの影響をかなり補正することができた。ただ、すべて補正できたわけではなく、一部、数分程度の補正しきれない部分も残った。従って、浅海での観測では、1 秒、ないしは 10 秒サンプリングを行い、さらに高精度な傾斜角データを用いることにより揺れの補正という有効な手段があることが確認でき、さらに、適当なデジタル信号処理手法の適用によって、より有効な補正が可能になる可能性がある。



第2図 久住での水平磁場2成分と海底電磁場5成分の時系列データ

(1999年10月3日-10月8日)

上2段：久住における水平磁場2成分

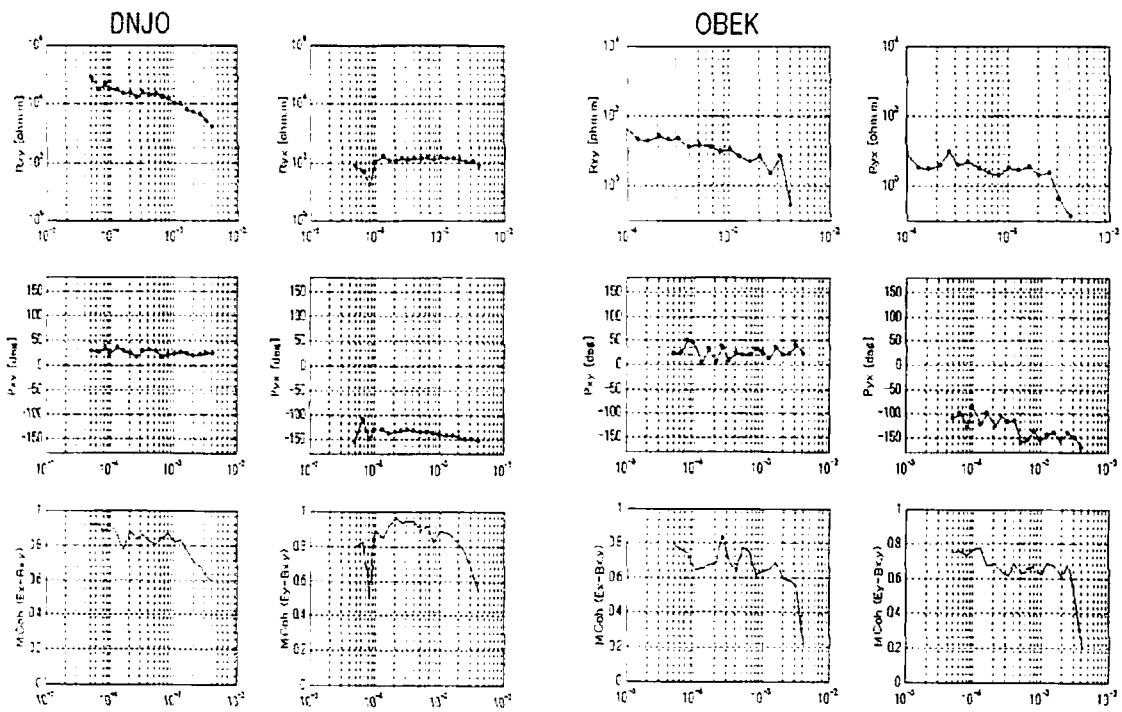
下5段：海底電磁場5成分

3. OBEMデータの解析

第2図に示したデータのうち、良好な部分のみを用いて数分～数時間 ($3 \cdot 10^{-3} - 10^{-4}$ Hz)でのGDS伝達関数(インダクションベクトル)とMTS伝達関数を推定した。その結果をまとめると以下のようになる。

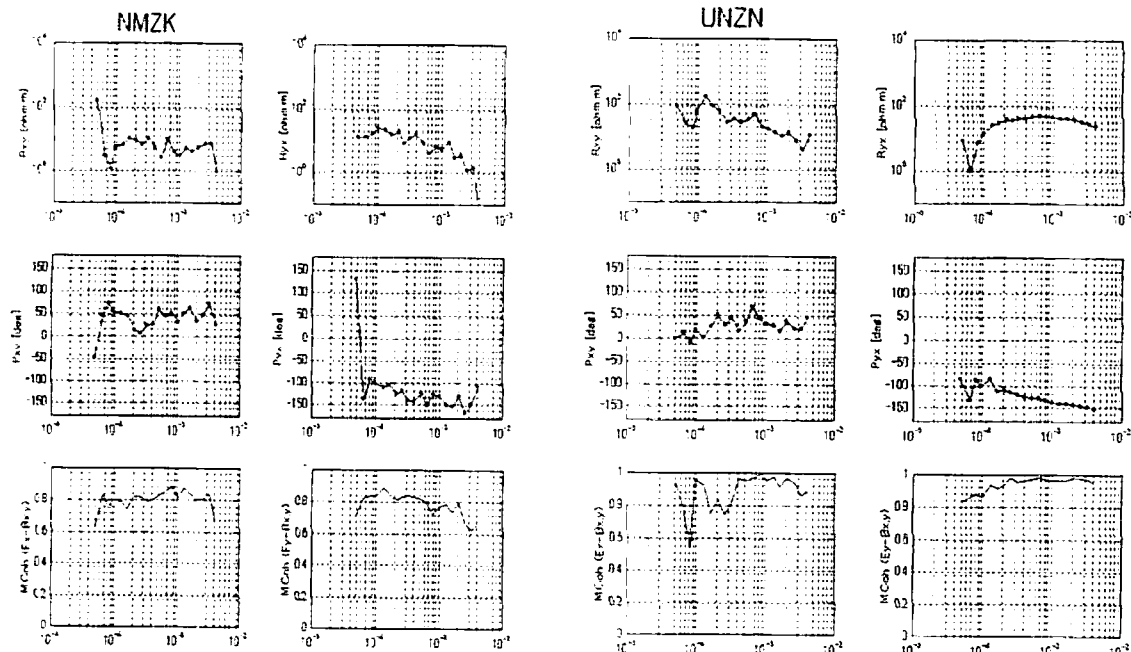
- GDS : in-phase induction vectorは小さく(<0.1)、その方向はほぼ西向き。
- MTS : 見かけ比抵抗は数 Ωm ～数 $10 \Omega \text{m}$ であり、長崎～福江島間の海底ケーブルによる電位差測定から推定されたものと同程度の大きさ。

この結果は、従来の陸上観測から推定されているHCLの存在を支持する。



第4図 男女群島男島でのMT結果

第3図 男女海盆海底下でのMT結果



第5図 野母崎でのMT結果

第6図 雲仙でのMT結果

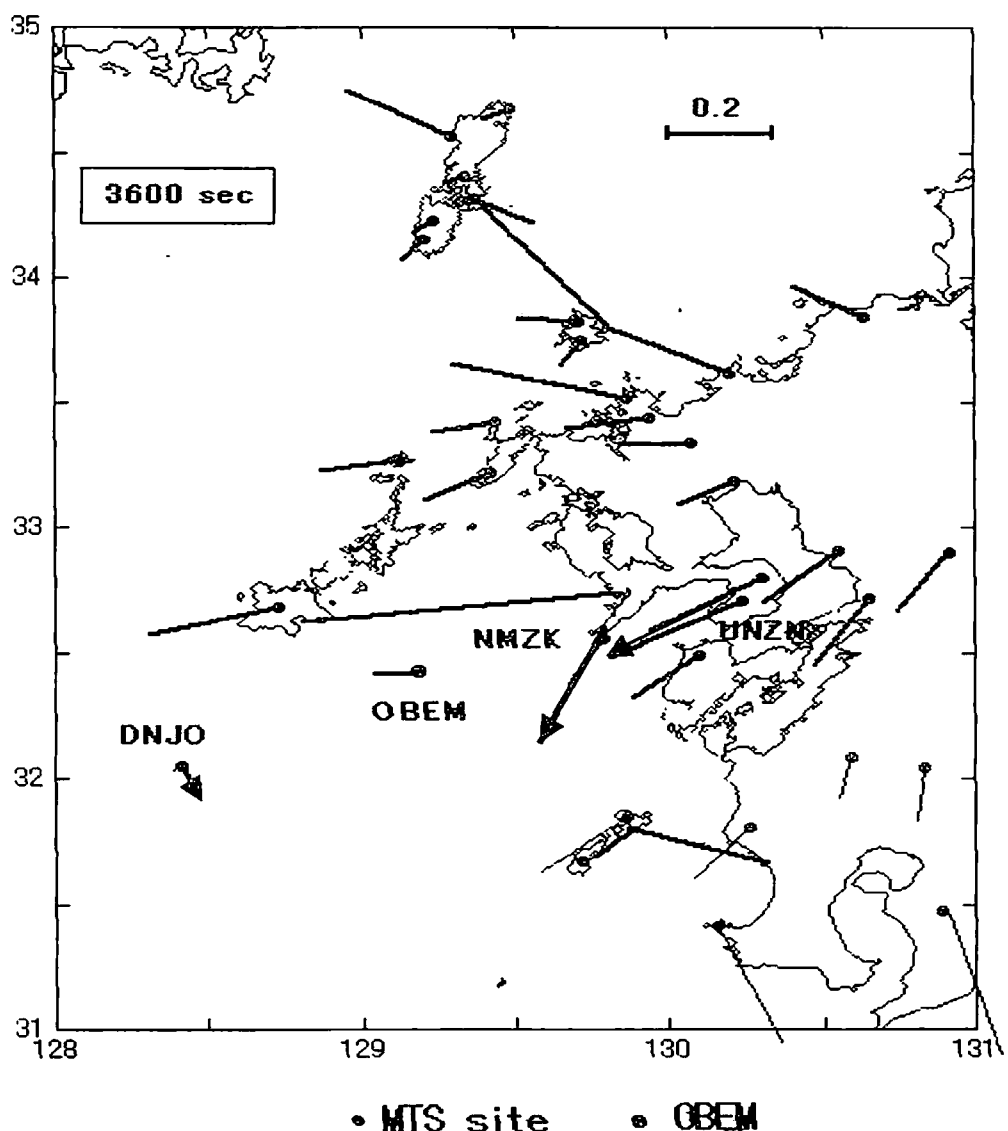
4. 陸上部 MT 観測結果

長周期 MT 観測には、U30 を用い、良好なデータが取得できるまで、2ヶ月から 3ヶ月間観測を行った。第4図には、男女群島男島、第5図には野母崎、第6図には雲仙での MT 解析結果を示し、第7図には、周期 3600 秒におけるインダクション・ベクトルの分布を示す。これらの特徴は、

GDS：男島での磁場 Z 成分は小さく（0.1 程度）でほぼ南を向くが、この結果は、1996 年の男女群島女島における結果とほぼ同じである。一方、男女海盆海底では、インダクション・ベクトルは小さいが九州本島と同じく西を向く。

MTS：男島での見かけ比抵抗は対馬の場合と同じく異方性が強い($10000 \sim 100 \Omega m$: 半田ら [1999])が、それほど比抵抗が低くなさそうである。見掛け比抵抗を見る限り、野母崎から雲仙あたりまでは低比抵抗であるようである。

といえる。



第 7 図 In-phase Induction vector 分布図 (周期 1000 秒)

5. おわりに

九州西方海域において待望の海底電磁気観測を行うことができた。海流による揺れの問題は依然として残るが、解析の際に、良好な区間を選ぶことにより周期数分から数時間にかけての帶域において、数十 Ωm という見掛け比抵抗を得ることができた。これは、下部地殻から上部マントルにかけての高電気伝導度層の存在支持する結果と考えられる。一方、男女群島男島での長周期MT観測からは、同一周期帶域において、数 $1000 \Omega\text{m}$ という高い見掛け比抵抗が得られた。離島でのMT観測ではその解釈において、周囲の海の影響を除去する必要がある(例えば、半田ら [1999])が、海域下の高電気伝導度層の拡がりに制約を与える可能性がある。

現在までに得られているMTデータの解析を進め、従来のGDS観測結果と、今回のMTS観測結果を説明できる電気伝導度モデルを構築すること、及び、海底観測点のさらなる拡充が今後の課題である。

男女群島男島でのU30設置の際には、九大島原観測所の方々のご好意でチャーター船に乗船させていただいた。ここに、お礼申し上げます。

参考文献

- Handa, S., Y. Tanaka and A. Suzuki, The Electrical High Conductivity Layer beneath the Northern Okinawa Trough, Inferred from Geomagnetic Depth Sounding in Northern and Central Kyushu, Japan, J. Geomag. Geoelectr. , 44, 505-520, 1992
Shimoizumi M., T. Mogi, M. Nakada, T. Yukutake, S. Handa, Y. Tanaka and H. Utada, Electrical conductivity anomalies beneath the western sea of Kyushu, Japan, Geophys. Res. Lett. , 24, 1551-1554, 1997
Sadeghi H., S. Suzuki and H. Takenaka, Tomographic low-velocity anomalies in the uppermost mantle around the northeastern edge of Okinawa trough, the backarc of Kyushu, Geophys. Res. Lett. , in-press
テラテクニカ社、海底電位磁力計 佐賀大学仕様、MTA-883 TECHNICAL MANUAL、1999
半田 駿、下泉政志、茂木透、対馬でのGDS,MTS観測、CA論文集、71-75, 1999